

При напряженностях поля $E < E_k$ электроны, инжектированные с электродов, в процессе диффузии захватываются различного рода структурными неоднородностями преимущественно в виде микрополостей. В результате стенки микрополостей оказываются заряженными и будут расширяться из-за действующих между зарядами электростатических сил. Относительная объемная деформация полости в результате зарядения ее стенок в соответствии с теорией электрострикции определяется соотношением [6]

$$\frac{\Delta v}{v} = \frac{\beta d}{2\pi} \left(\frac{\partial \epsilon}{\partial d} \right) \sigma^2, \quad (4)$$

где $\beta = -\frac{1}{V} \frac{dV}{dP}$ — сжимаемость, d — плотность материала, σ — поверхностная плотность заряда, ϵ — диэлектрическая проницаемость. Для органических жидкостей и полимеров $(\beta d/2\pi)(\partial \epsilon / \partial d) \approx 0.1 \text{ м}^4 \cdot \text{Кл}^{-2}$.

Поскольку относительная деформация $\Delta v/v$ в экспериментах достигала ≈ 0.25 , из формулы (4) находим $\sigma \approx 0.12 \text{ Кл} \cdot \text{м}^{-2}$. Полученная оценка согласуется с величиной заряда, локализованного в микрополостях, которая была определена ранее в [7]. По-видимому, зарядка — разрядка таких полостей и как следствие, изменение их размеров являются причиной наблюдаемого изменения светорассеяния при электрическом нагружении пленки ПЭ.

С повышением напряженности внешнего электрического поля происходит необратимый рост, слияние микрополостей, а также возникновение новых в результате микропробоев, развивающихся в объеме полимера под действием сильного электрического поля [8, 9].

Литература

- [1] Громов В. В. Электрический заряд в облученных материалах. М.: Энергоиздат, 1982.
- [2] Куличенко А. И., Смирнов Б. И. ФТТ, 1984, т. 26, № 3, с. 933—936.
- [3] Ушаков В. Я., Важов В. Ф., Робежко А. Л. и др. Письма в ЖТФ, 1981, т. 7, № 3, с. 155—158.
- [4] Ушаков В. Я., Робежко А. Л., Ефремов Г. В. ФТТ, 1984, т. 26, № 1, с. 45—49.
- [5] Бендерский В. А., Бескровный В. М., Мисочки Е. Я. и др. Химическая физика, 1984, т. 3, № 8, с. 1172—1183.
- [6] Желудев И. С., Фотченков А. А. Кристаллография, 1958, т. 3, № 3, с. 308—312.
- [7] Керимов М. К., Сулейманов Б. А., Мансимов С. А. и др. Высокомол. соед., 1985, т. 27, № 7, с. 1549—1551.
- [8] Гезалов Х. Б., Керимов М. К. ЖТФ, 1982, т. 52, № 7, с. 1386—1388.
- [9] Керимов М. К., Сулейманов Б. А., Гезалов Х. Б. ЖТФ, 1984, т. 54, № 7, с. 1407—1408.

Сектор радиационных исследований

АН АзССР

Баку

Поступило в Редакцию

20 июля 1987 г.

В окончательной редакции
20 октября 1987 г.

УДК 535.341

Журнал технической физики, т. 58, в. 8, 1988

ДИНАМИКА ПОГЛОЩАТЕЛЬНОЙ СПОСОБНОСТИ МЕТАЛЛИЧЕСКИХ ЗЕРКАЛ

Р. А. Лиуконен, А. М. Трофименко

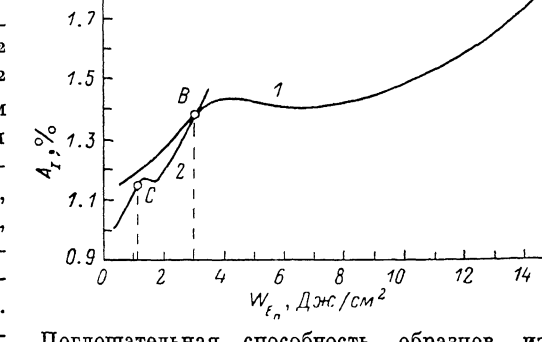
Проведено экспериментальное исследование интегральной (за импульс) поглощательной способности A_1 образцов из циркониевой бронзы (БРЦР) в зависимости от плотности поглощенной лазерной энергии при отсутствии плазмообразования на поверхности. Исследования проведены на стенде «Солярис» [1] в двух спектральных диапазонах: 5—6 и 10.6 мкм соответственно с длительностью импульсов 140 и 20 мкс и фронтом 10 и 3 мккс. По форме импульс CO лазера был близок к треугольному, а CO₂ лазера к колоколообразному. В качестве образцов были использованы полированные по оптическому классу методом свободного абразива элементы из БРЦР площадью 4 см² и толщиной 1 см. Перед экспериментом проводилась очистка поверхности этанолом. При измерении поглощения калориметрическим методом [2] использовался датчик температуры с чувствительностью 3.7 мВ/К, который приклеивался с тыльной стороны образца. По величине сигнала с датчика определялись нагрев образца и

поглощенная энергия за импульс взаимодействия. Отношение поглощенной энергии $E_{\text{пп}}$ к падающей E_n и составляет интегральную поглощающую способность. В обоих случаях излучение фокусировалось в пятно площадью $S=5 \pm 5.7 \text{ mm}^2$ при неравномерности распределения $\pm 13 \%$. Для того чтобы свести к минимуму погрешности измерений при переходе с одной длины волны на другую, оптическая схема была построена таким образом, что все элементы, кроме выходного диэлектрического зеркала, не менялись, а градуировка измерения энергии в обоих случаях осуществлялась с помощью эталонных калориметров ТПИ 2-5 и ИМО-2, устанавливаемых на место мишени. Погрешность абсолютных измерений поглощающей способности составляла 30 %, относительной 6 %. Контроль состояния поверхности образцов во время эксперимента проводился с помощью излучения гелий-неонового лазера. Отсутствие плазмообразования на поверхности контролировалось ФЭУ и визуально телевизионной камерой ПТУ-45.

Результаты экспериментов представлены на рисунке в виде зависимости интегральной за импульс поглощающей способности поверхности $A_1 = E_{\text{пп}}/E_n$ от плотности энергии, поглощенной образцом $W_{E_n} = E_{\text{пп}}/S$. Характерной особенностью зависимости является наличие перегиба при $3.0 \text{ Дж}/\text{см}^2$ для 5–6 мкм (точка B) и при $1.1 \text{ Дж}/\text{см}^2$ для излучения с длиной волны 10.6 мкм (точка C). При этих же плотностях энергии наблюдается появление остаточного рассеяния излучения гелий-неонового лазера, отраженного от места взаимодействия, а микропротерометрические исследования следов воздействия показали появление необратимой деформации поверхности.

Расчет температуры, выполненный авторами на основании теплопроводностной модели с учетом формы импульса и линейной зависимости поглощающей способности металлов от температуры в ИК области спектра (по методике работ [3, 4]), показал, что для плотностей энергии, приводящих к деформации поверхности, максимальный прирост температуры не превышает $100-150 \text{ K}$, а температурный коэффициент поглощения для обоих длин волн составляет $2.5 \pm 0.3 \cdot 10^{-5} \text{ K}^{-1}$. Это указывает на слабое влияние длины волны лазерного излучения в этом спектральном диапазоне на зависимость поглощающей способности БРЦР от температуры. В свою очередь деформация поверхности есть следствие термонапряжений, возникающих вследствие импульсного нагрева лазерным излучением. При этом уровень достигаемых температур говорит о том, что это — низкотемпературная деформация, которая вызвана пластическим течением материала. Затраты энергии на этот процесс приводят к замедлению роста температуры и, как следствие, поглощающей способности, что является причиной «полочки» на графике, следующей за точками B и C . Более раннее по времени появление пластической деформации с ростом энергии в импульсе может привести к некоторому снижению общей поглощающей способности. Размер самой «полочки», очевидно, ограничен глубиной прогрева за время импульса, а следовательно, и глубиной деформированного слоя. Затем с ростом энергии в импульсе возобновляется рост поглощающей способности.

В зависимости от состояния поверхности (сразу после обработки или уже после взаимодействия с излучением) отклонение экспериментальных точек от приведенных кривых составило $\pm 15 \%$ для излучения СО лазера и $\pm 6 \%$ (в пределах погрешности) для излучения CO_2 лазера. Наибольшим поглощением обладала поверхность, не испытавшая лазерного воздействия, и та, которая предварительно подверглась воздействию импульсного лазерного излучения с параметрами, характерными для второго подъема кривой (см. рисунок). Эти отклонения особенно характерны для более длинного импульса СО лазера, поскольку температура и все процессы на поверхности достигают максимального значения в районе наибольшей плотности мощности, т. е. в самом начале импульса, и их последствия эффективно влияют на поглощение энергии в «хвосте» импульса. В этом случае, с одной стороны, идет нагрев поверхности, с другой — пластическая деформация приводит к структурным изменениям поверхностного слоя. Известно, деформация чистой меди на 8 % приводит к увеличению электросопротивления на 2–3 %, в то же время нагрев приводит к восстановлению



Поглощающая способность образцов из БРЦР в зависимости от плотности поглощенной энергии для СО (1) и CO_2 (2) лазеров. Точки B , C — момент появления остаточных явлений на поверхности для СО и CO_2 лазеров соответственно.

сопротивления [5]. Учитывая единство процессов, определяющих электросопротивление и поглощение ИК излучения, можно сделать вывод, что именно пластическая деформация оказывает заметное влияние на динамическую и остаточную поглощающую способность БРЦР. Особенно это должно проявляться на отожженных образцах.

Зона пластической деформации представляет собой поверхность со следами межзеренного и внутризеренного (в основном) скольжения [5]. Величина максимального остаточного отклонения профиля поверхности для обоих длин волн зависит от поглощенной энергии и изменяется для условий эксперимента в пределах от 0.03 до 0.2 мкм, достигая при многократном воздействии 0.3 мкм.

Таким образом, в результате работы выявлена еще одна особенность в изменении поглощающей способности металлической поверхности с ростом плотности импульсной лазерной энергии, близкая по виду описанной в работе [6] (связанной с плавлением поверхности), но имеющей место при значительно меньших температурах и импульсных потоках энергии. Следует отметить также, что появление пластической деформации при взаимодействии лазерного излучения с поверхностью вписывается в закон $W_{E_n} \sim t_n^{1/2}$ для обеих длин волн, где t_n — длительность импульса [7].

Литература

- [1] Гаевская Е. А., Лиуконен Р. А., Трофименко А. М. Тез. докл. V Всес. конф. «Оптика лазеров». Л., 1986, с. 36.
- [2] Барчуков А. И., Конюхов В. К. ЖПС, 1968, т. 9, № 4, с. 706—709.
- [3] Либенсон М. Н., Романов Г. С., Имас Я. А. ЖТФ, 1968, т. 38, № 7, с. 1116—1119.
- [4] Лохов Ю. Н., Рожнов Г. В., Углов А. А. Поверхность, 1984, № 11, с. 5—22.
- [5] Хоникомб Р. Пластическая деформация. М.: Мир, 1972, с. 408.
- [6] Бонч-Бруевич А. М., Имас Я. А., Романов Г. С. и др. ЖТФ, 1968, т. 38, № 5, с. 851—856.
- [7] Sparks M., Loh E., Jr. Opt. Soc. Amer., 1979, v. 69, № 6, p. 847—868.

Поступило в Редакцию
22 июля 1987 г.

В окончательной редакции
4 ноября 1987 г.

УДК 535.317.1

Журнал технической физики, т. 58, в. 8, 1988

МЕЖМОДОВОЕ ПАРАМЕТРИЧЕСКОЕ РАССЕЯНИЕ СВЕТА ГОЛОГРАФИЧЕСКОГО ТИПА В ПЛАНАРНЫХ ОПТИЧЕСКИХ ВОЛНОВОДАХ Ti : LiNbO₃ : Fe

А. Д. Новиков, С. Г. Одудов, В. М. Шандаров, С. М. Шандаров

Попутные четырехволновые параметрические взаимодействия [1, 2] дают возможность осуществлять стационарное усиление слабых когерентных световых пучков, а в комбинации со встречным взаимодействием — безрезонаторную генерацию новых пучков [3], направление которых определяется условиями синхронизма

$$\mathbf{k}_{p1} + \mathbf{k}_{p2} = \mathbf{k}_{s1} + \mathbf{k}_{s2}, \quad (1)$$

где \mathbf{k} — волновые векторы накачки, сигнальной и холостой волн. При вырождении по частоте волна накачки вместе с сигнальной волной записывает в нелинейной среде неподвижную фазовую решетку, в связи с чем спонтанное появление рассеянного излучения, соответствующего условию (1), получило название «параметрическое рассеяние голограммического типа» (ПРГТ) [4].

До сих пор компланарное ПРГТ наблюдалось в объемных нелинейных средах либо при векторном взаимодействии (волны накачки и сигнала отличались по поляризации и вследствие двупреломления имели различные модули волнового вектора) [2, 4], либо при обычном скалярном взаимодействии в средах с положительной кубической нелинейностью (различие в $|\mathbf{k}|$ здесь определялось нелинейным изменением фаз при взаимодействии). Углы синхро-